

مطالعه دینامیک سامانه‌های چرخندی روی ایران از دیدگاه تاوایی

پتانسیلی: مطالعه موردی برای آذر ماه ۱۳۸۲

فرهنگ احمدی‌گیوی^{*}، علیرضا محب‌الحجه^{*} و مریم قرایلو^{*}

^{*} مؤسسه زیوفیزیک دانشگاه تهران، صندوق پستی ۶۴۶۶-۱۴۱۵۵

(دریافت مقاله: ۱۷/۱۱/۸۳، پذیرش مقاله: ۲۴/۱/۱۸)

چکیده

پارامترهای دینامیکی و فیزیکی متعددی در مطالعه سامانه‌های جوی به کار بردند. یکی از این پارامترهای دینامیکی، تاوایی پتانسیلی است که در غیاب اصطکاک و فرایندهای دررو، پاییستار است. با توجه به پاییستاری این کمیت، می‌توان از آن در حکم یک ردبای دینامیکی در تشکیل و تحول سامانه‌های سطح زمین استفاده کرد. در این مقاله، سامانه‌های جوی واقع در کشور ایران در آذر ماه ۱۳۸۲ از دیدگاه تاوایی پتانسیلی بررسی خواهند شد. برای این کار، ابتدا با استفاده از داده‌های اداره ملی اقیانوسی و جوی (NOAA)، تاوایی پتانسیلی ارتل در بیست تراز مختلف هم‌فشاری محاسبه شده است. سپس با محاسبه دمای پتانسیلی روی همه سطوح هم‌فشاری، تاوایی پتانسیلی برای نمونه‌هایی از سطوح هم‌دامی پتانسیلی به منظور بررسی نقش هربیک از عوامل سطح زمین، سطوح میانی و زیرین در مراحل مختلف چرخندزایی، درون‌یابی شده است. با تحلیل توزیع افقی و قائم تاوایی پتانسیلی، می‌توان ساختار افقی و قائم سامانه‌های چرخندی و تحول آنها را از دیدگاه دینامیکی مطالعه کرد. ویژگی‌های مهم نتایج پژوهش صورت گرفته این است که مرحله تکون چرخدن سطحی فقط با حضور بی‌هنجاری تاوایی پتانسیلی سطوح زیرین آغاز شده است. در مرحله بلوغ سامانه برهم‌کنش سه عامل شامل تاوایی پتانسیلی سطوح زیرین، تاوایی پتانسیلی ناشی از فرایندهای دررو و تاوایی پتانسیلی ناشی از فرارفت‌های گرم سطوح زیرین منجر به چرخندزایی شده است و مرحله میرایی چرخندزایی، مصادف با تعییف و قطع رابطه بین سه بی‌هنجاری تاوایی پتانسیلی سطوح زیرین، میانی و سطح زمین است.

واژه‌های کلیدی: تاوایی پتانسیلی، سطوح هم‌دامی پتانسیلی، درون‌یابی، چینه‌بندی پایدار، چرخندزایی

۱ مقدمه

جوی محسوب می‌شود. میدان تاوایی پتانسیلی برای توصیف تحول الگوهای جریان در طول رویدادهای هم‌دیدی برجسته قابل استفاده است. برای توضیح اثرات اصطکاک و گرمایش دررو رابطه زیر که در واقع مشتق مادی (material derivative) یا تام تاوایی پتانسیلی ارتل (PV) است، به کار می‌رود:

$$\frac{D}{Dt} PV = \frac{1}{\rho} (\xi_a \cdot \nabla \dot{\theta} + \nabla \times F \cdot \nabla \theta) \quad (1)$$

$$PV = \frac{1}{\rho} \xi_a \cdot \nabla \theta \quad (2)$$

که ρ چگالی جرمی، F بردار نیروی اصطکاک، θ دمای پتانسیلی و ξ_a بردار تاوایی مطلق یا کرل میدان سرعت سه‌بعدی در چارچوب لخت است. جمله اول

تاوایی پتانسیلی، یکی از کمیت‌های کلیدی است که به صورت یک ابزار فرایابی در فهم دینامیک پدیده‌های جوی و اقیانوسی مورد استفاده قرار می‌گیرد. به علت ویژگی‌های خاص این کمیت که در مقاله بنیادین هاسکیتر و همکاران (۱۹۸۵) به تفصیل ذکر شده است، استقبال روزافزونی از کاربرد این کمیت در بررسی پدیده‌های متفاوت جوی از قبیل چرخندزایی، جبهه‌زایی، تاشدگی و ردایست، ناپایداری کژفشار، انتشار امواج راسبی و بندال (بلکینگ) به چشم می‌خورد.

الف- تاوایی پتانسیلی در یک شاره کژفشار و تراکم پذیر در حین حرکت سه‌بعدی بی‌دررو و ناوشکسان پاییسته می‌ماند که قیدی قوی در حرکت‌های بزرگ مقیاس

دماه مطلق T که پس از پردازش و آماده سازی داده‌های اداره ملی اقیانوسی و جوی به دست آمده‌اند، تاوایی پتانسیلی برای نمونه‌هایی از سطوح همدماهی پتانسیلی درون‌یابی می‌شود. این سطوح به گونه‌ای انتخاب می‌شوند که نقش ناوه سطوح زبرین، فرایندهای دررو (آزاد شدن گرمای نهان) در سطوح میانی و کثافتاری در سطح زمین را نشان دهند. شبکه مورد استفاده شبکه منظمی با گام‌های شبکه‌ای δx و δy برابر یک درجه در راستای x, y و شامل بیست و شش سطح فشاری است که در این مطالعه فقط از بیست سطح فشاری با گام شبکه‌ای قایم 5° هکتوپاسکال استفاده شده است. هدف ما در بررسی اولیه نقشه‌های همدیدی و داده‌ها، شناسایی سامانه‌های جوی است که منطقه خاورمیانه و ایران را طی یک ماه تحت تأثیر قرار داده‌اند. در مرحله بعد، این سامانه‌ها از نظر همدیدی مورد بررسی بیشتر قرار گرفته‌اند و در مرحله نهایی، دینامیک آن‌ها از دیدگاه تاوایی پتانسیلی مطالعه می‌شود (برای جزیيات بیشتر ر.ک. به قرایلو ۱۳۸۳ مراجعه شود).

۲ معرفی روش عددی به کار رفته

برای محاسبه تاوایی پتانسیلی روی سطوح همدماهی پتانسیلی، ابتدا تاوایی پتانسیلی روی سطوح همفشاری طبق رابطه زیر محاسبه می‌شود (بلوشتاین، ۱۹۹۲):

$$PV = -g(fK + \nabla_p \times V) \cdot \nabla_p \theta \quad (3)$$

یا

$$\begin{aligned} PV = & -g \left\{ \left(\frac{\partial V}{\partial x} - \frac{\partial u}{\partial y} \right) p + f - \frac{\partial p}{\partial \theta} \right. \\ & \left. \left(\frac{\partial \theta}{\partial x} \frac{\partial v}{\partial p} - \frac{\partial \theta}{\partial y} \frac{\partial u}{\partial p} \right) \right\} \frac{\partial \theta}{\partial p} \end{aligned} \quad (4)$$

که g شتاب گرانی، p فشار، f پارامتر کوریولیس تابعی از عرض جغرافیایی، V, u, v مؤلفه‌های افقی سرعت و θ دماه پتانسیلی است. فرض تاوایی پتانسیلی به صورت

سمت راست رابطه (۱)، گرمایش دررو و جمله دوم اثر اصطکاک را نشان می‌دهد. با توجه به این رابطه، تاوایی پتانسیلی در غیاب اصطکاک و فرایندهای دررو، پایستار است.

ب- با در نظر گرفتن شرایط لازم و فرض‌های مشخصی، استنتاج میدان‌های فشار، دما و باد از توزيع تاوایی پتانسیلی امکان‌پذیر است. یعنی، تاوایی پتانسیلی برای بازیابی میدان جريان واقعی، وارون‌پذیر است. برای مثال، یکی از این فرض‌ها شرط توازن است که میدان‌های جرم را به میدان‌های حرکت ارتباط می‌دهد. ساده‌ترین شرط توازن، تقریب شبیه زمین‌گرد است. به علاوه، حالت مرجع اولیه و شرایط مرزی نیز باید تعیین شود. بنابراین، با وجود خاصیت‌های پایستاری و وارون‌پذیری تاوایی پتانسیلی، امکان بررسی دینامیکی با کمیتی نرده‌ای در شرایط مرزی خاص قابل تجسم است (دیویس و امانوئل، ۱۹۹۱).

پ- با استفاده از این کیت می‌توان برخی از فرایندهای جوی را برحسب برهم‌کنش بی‌هنجری‌های تاوایی پتانسیلی با ساختار زمینه جو توصیف کرد. برای مثال، وقتی یک بی‌هنجری قوی تاوایی پتانسیلی واقع در سطوح زبرین روی ناحیه کثافتار سطح زمین حرکت می‌کند، معمولاً چرخندزایی رخ می‌دهد و گردش‌های ثانویه (حرکات قائم) موجب توسعه آن می‌شود. علاوه بر این، با فرض چشم‌پوشی از اثرات غیرخطی کوچک، اصل برهم‌نهی برای توصیف برهم‌کنش بی‌هنجری‌های تاوایی پتانسیلی در سطوح مختلف جوی که منجر به تغییراتی در گردش‌های این سطوح می‌شود، قابل استفاده است.

در این مقاله، سامانه‌های جوی واقع در ایران در آذر ماه ۱۳۸۲ از دیدگاه تاوایی پتانسیلی بررسی می‌شود. برای این کار، با محاسبه دماه پتانسیلی روی همه سطوح همفشاری با استفاده از مؤلفه‌های سرعت افقی (u, v) و

شرط حالت ساده‌ای از جو واقعی است که برای جلوگیری از پیچیدگی معادلات در نظر گرفته می‌شود. برای این منظور، در هنگام فراخوان زیر برنامه درونیابی برای هر نقطه شبکه‌ای، ابتدا الگوریتم تنظیم ساده‌ای برای تبدیل هر گونه چینه‌بندی ناپایدار به چینه‌بندی پایدار و تقریباً خشی اجرا می‌شود (محب الحجه و مرادي، ۱۳۸۱).

در انتخاب مناسب‌ترین سطوح همدماهی پتانسیلی برای فرایابی توابی پتانسیلی، عرض جغرافیابی، فصل و وضعیت اقلیمی ناحیه مورد مطالعه اهمیت دارد. در انتخاب سطوح همدماهی پتانسیلی مناسب، برای مثال در مطالعه عوامل سطوح زبرین جو، ابتدا توزیع توابی پتانسیلی در سطح همفشاری ۳۰۰ هکتوپاسکال، که تقریباً تراز مربوط به وردایست است را به دست می‌آوریم. سپس سطح همدماهی پتانسیلی را انتخاب می‌کنیم که الگوهای توابی پتانسیلی روی این سطح تطابق بیشتری با الگوهای توابی پتانسیلی به دست آمده در سطح همفشاری ۳۰۰ هکتوپاسکال داشته باشد.

در پاره‌ای از موارد در عرض‌های پایین شبکه، سطح همدماهی پتانسیلی مورد بررسی پایین‌تر از سطح همفشاری ۱۰۰۰ هکتوپاسکال قرار می‌گرفت. بنابراین الگوریتمی نیز اجرا می‌شود که دماه پتانسیلی این نقاط را برابر دماه پتانسیلی سطح ۱۰۰۰ هکتوپاسکال قرار می‌دهد.

۳ تحلیل همدیدی

در بررسی اولیه با هدف شناسایی سامانه‌های جوی طی این یک ماه، نقشه‌های ارتفاع ژئوپتانسیلی مربوط به سطوح همفشاری ۱۰۰۰، ۸۵۰، ۵۰۰ و ۳۰۰ هکتوپاسکال در ساعت‌های ۰۰۰۰، ۰۶۰۰، ۱۲۰۰ و ۱۸۰۰ UTC مورد مطالعه همدیدی قرار گرفت.

۱-۳ ویژگی‌های کلی دوره مطالعه
از ویژگی‌های بارز این ماه، موقع دو بندال در اوایل و

$$PV = -fg \frac{\partial \theta_s}{\partial p}$$

جو استاندارد به درک مقادیر عددی PV کمک می‌کند. عبارت فوق برای جو استاندارد نشان می‌دهد که به ازای $f = 10^{-4} \text{ s}^{-1}$ و تغییر دمای پتانسیلی $K = 10$ در سطح فشاری ۱۰۰ هکتوپاسکال، مقدار PV تقریباً ۱۰ $\text{m}^2 \text{s}^{-1} \text{Kkg}$ است. از این‌رو مقدار $10^{-6} \text{ m}^2 \text{s}^{-1} \text{Kkg}$ معادل یک واحد PV در نظر می‌گیرند و به اختصار به صورت PVU نشان می‌دهند. در سطح مقطع قایم PV جو، مقادیر نزدیک به ۲ PVU حوالی وردایست مناطق بروون‌حاره‌ای دیده می‌شود که این مقدار برای تعریف وردایست دینامیکی این مناطق، بالاتر از ۲۰ درجه شمالی و پایین‌تر از ۲۰ درجه جنوبی به کار می‌رود.

در برنامه محاسباتی نوشته شده، ابتدا دماهی پتانسیلی روی سطوح همفشاری، طبق رابطه پواسون به شکل زیر محاسبه می‌شود (هولتون، ۱۹۹۲):

$$\theta = T \left(\frac{p_0}{p} \right)^{\frac{R}{C_p}} \quad (5)$$

که T دماه مطلق، p_0 فشار استاندارد (معمولأ ۱۰۰۰ هکتوپاسکال در نظر گرفته می‌شود)، p فشار، $J \text{ kg}^{-1} \text{ K}^{-1}$ ثابت گازها برای هوای خشک و $J \text{ kg}^{-1} \text{ K}^{-1}$ $C_p = 1005$ گرمای ویژه در فشار ثابت است. سپس، توابی پتانسیلی روی سطوح همفشاری با استفاده از تقریب‌های تفاضل متناهی مرتبه دوم در داخل حوزه و مرتبه اول روی مرزهای افقی و قائم محاسبه می‌شود. در مرحله بعد، با استفاده از درونیابی هرمیت مکعبی بر گرفته از کاهانر و همکاران (۱۹۸۹)، برای نمونه‌هایی از سطوح همدماه پتانسیلی، توابی پتانسیلی درونیابی می‌شود. این درونیابی، در صورتی میسر است که توزیع θ در راستای قائم دارای تغییرات یکنواخت باشد؛ یعنی از نظر فیزیکی باید شرط چینه‌بندی پایدار برقرار باشد. این

شانزدهم، قسمت‌های شمال شرق کشور ایران را در بر می‌گیرد. با عبور کامل این سامانه در ساعت ۰۶۰۰ UTC روز هفدهم از ایران، شاهد استقرار جریان‌های مداری در کل کشور هستیم که تا ساعت ۰۶۰۰ UTC روز هجدهم ادامه دارد.

۴ تحلیل دینامیکی

در این بخش، مورد چرخندزایی انتخابی از دیدگاه توابی پتانسیلی ارتل بررسی می‌شود. بدین منظور، میدان توابی پتانسیلی (PV) روی دو سطح همدماه پتانسیلی ۳۱۵ و ۲۹۵ کلوین برای ساعت‌های ۰۰۰۰، ۰۶۰۰، ۱۲۰۰ و ۱۸۰۰ UTC محاسبه و ترسیم شد که برای اختصار فقط میدان PV مربوط به ساعت ۰۰۰۰ UTC ارائه می‌شود. علاوه بر نقشه‌های فوق، نقشه‌های فشار سطح زمین و همچنین سرعت‌های قائم در سطح ۷۰۰ هکتوپاسکال تهیه و از آن‌ها در تحلیل دینامیکی سامانه استفاده شده است. از بررسی نقشه‌های سرعت قائم می‌توان به نقش فرایندهای دررو، فرارفت هوای گرم و فرارفت هوای سرد در سطوح زیرین و در نتیجه به مرکز حرکت‌های بالارو و پایین رو پی بردا. انتخاب دو سطح همدماه پتانسیلی یادشده نیز برای بررسی نقش PV های سطوح زیرین و میانی در تحول چرخندهای سطح زمین صورت گرفته است. در صورت وجود پایداری ایستایی کم، امکان برهمنش PV های مربوط به ناوہ سطوح زیرین، فرایندهای دررو و کثشفشاری سطح زمین فراهم می‌شود. دو دلیل عمده برای استفاده از نقشه‌های PV مقایسه با نقشه‌های ارتفاع ژئوپتانسیلی می‌توان نام برد. نخست آنکه نقشه‌های PV ساختار ریز دینامیک سامانه‌ها و تحولات آن‌ها را با زمان نشان می‌دهند. دلیل دوم مربوط به اهمیت بی‌هنجری‌های PV نزدیک و ردایست (قریباً ۳۰۰ هکتوپاسکال) است به طوری که وقتی چرخندزایی با برهمنش بی‌هنجری‌های PV سطوح

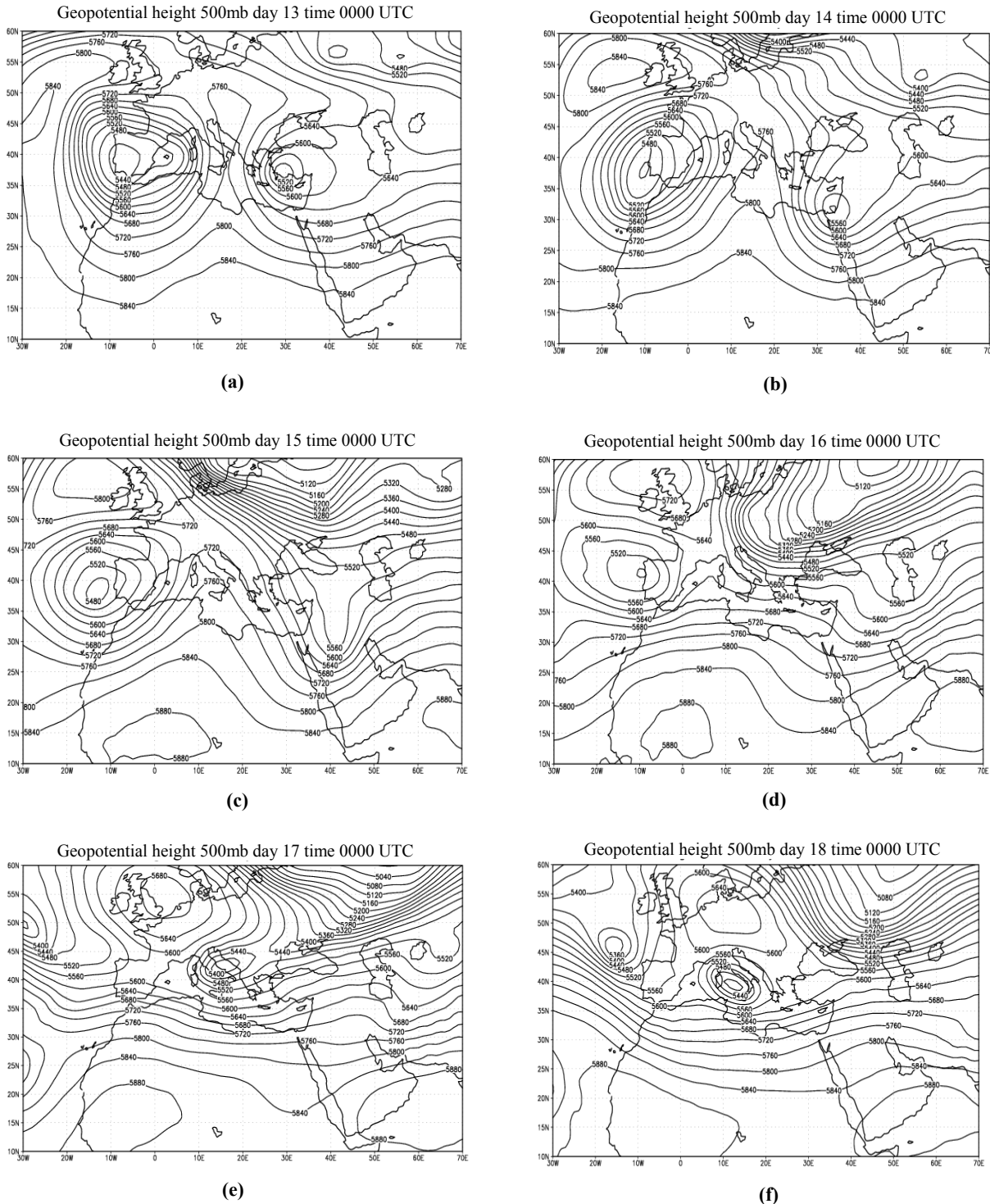
واخر ماه بود. این سامانه‌های بندال، شرایط جوی پایداری را بر منطقه حاکم کردند و باعث شدنده که سامانه‌های فعال متعددی طی این دوره وجود نداشته باشد. در ادامه با توجه به بررسی نقشه‌های همدیدی طی آذرماه، مورد چرخندزایی سیزدهم تا هجدهم آذر که سبب بارندگی‌های شدیدی در منطقه شد و دارای چرخه عمر مشخص شامل مراحل تکوین، بلوغ و میرایی بود، مورد مطالعه همدیدی دقیق تر قرار گرفت. لازم به ذکر است که سامانه دیگری در اوایل ماه به وقوع پیوسته بود که امکان دسترسی به داده‌های مورد نیاز مربوط به آن میسر نشد.

۲-۳ بررسی نقشه‌های ۵۰۰ هکتوپاسکال چرخندزایی

روز سیزدهم تا هجدهم آذرماه ۱۳۸۲

شکل ۱ پریندهای ارتفاع ژئوپتانسیلی سطح ۵۰۰ هکتوپاسکال در ساعت ۰۰۰۰ UTC روزهای سیزدهم تا هجدهم آذرماه را نشان می‌دهد (برای اختصار فقط نقشه‌های مربوط به ساعت ۰۰۰۰ UTC این روزها ارائه شده است). در ساعت ۰۰۰۰ UTC روز سیزدهم (شکل a-۱)، دیده می‌شود که در طرفین پریند ۵۷۶۰ متر روی ایتالیا، دو کم ارتفاع بسته با هسته سرد وجود دارد که مرکز کم ارتفاع اولی روی اسپانیا و دومی در شرق دریای مدیترانه جای دارد. کم ارتفاع بسته واقع بر شرق دریای مدیترانه، در اثر ریزش هوای سرد عرض‌های بالاتر به سوی شمال و شمال شرق دریای سرخ جابه‌جا می‌شود. این کم ارتفاع در ساعت ۱۸۰۰ UTC روز چهاردهم باز می‌شود و ناوہ آن در حین حرکت، جنوب غرب و جنوب ایران را تحت تأثیر قرار می‌دهد و باعث بارندگی خوبی در روز پانزدهم در این نواحی می‌شود.

در ساعت ۰۰۰۰ UTC روز شانزدهم (شکل d-۱)، اثر این سامانه روی نواحی شمال ایران و دریای خزر نیز دیده می‌شود. با حرکت سامانه به سمت شمال شرق، ناوہ آن تضعیف می‌شود و در ساعت ۱۲۰۰ UTC روز



شکل ۱. گرتنه ارتفاع تراز ۵۰۰ هکتوپاسکال برای ۰۰۰۰ UTC روزهای سیزدهم (a)، چهاردهم (b)، پانزدهم (c)، شانزدهم (d)، هفدهم (e) و هجدهم آذرماه ۱۳۸۲ (f). فاصله پرینتدها ۴۰ متر است.

PVU ۱ در شمال شرق مدیترانه و PVU ۰/۵ در نواحی مرکزی دریای سرخ به چشم می‌خورد. مراکز بسته توابی پتانسیلی سطوح میانی که دقیقاً در زیر مراکز توابی پتانسیلی سطوح زیرین قرار می‌گیرند و رطوبت نسبی بسیار کمی دارند (نشان داده نشده است)، ناشی از گسترش و نفوذ به لایه‌های پایین مراکز PV زیرین‌اند. به معنای دیگر پایداری ایستایی ضعیف جو اجازه داده است که مراکز توابی پتانسیلی سطوح زیرین به سطوح پایین‌تر نفوذ کنند. اثری از مراکز PV با منشأ وردسپهری که ناشی از فرایندهای دررو و گرمای نهان هستند و همچنین حرکت‌های صعودی در سطح ۷۰۰ هکتوپاسکال وجود ندارد (شکل ۴-a). نشانه‌ای از وجود چرخند در نقشه‌های سطح زمین این روز مشاهده نمی‌شود (شکل نشان داده نشده است).

طی ۲۴ ساعت بعد (شکل ۲-b)، مرکز توابی پتانسیلی PVU ۵ روی شمال شرق دریای مدیترانه ضمن تضعیف تا PVU ۴ به سمت جنوب شرق حرکت کرده و روی شمال دریای سرخ قرار گرفته است. در شرق این توابی پتانسیلی سطوح زیرین، یک مرکز PVU ۰/۵ با منشأ وردسپهری (شکل ۳-b، ناشی از فرایندهای دررو) و حرکت‌های صعودی به بزرگی 2 cm s^{-1} (شکل ۴-b) در سطح ۷۰۰ هکتوپاسکال به چشم می‌خورد. با توجه به شکل ۵-۵ مرکز بسته کم‌فشاری در شمال دریای سرخ و شرق PV های سطوح زیرین در این روز دیده می‌شود.

طی ۱۲ ساعت مرکز بسته فوق از بین رفته و زبانه کم‌فشار گستردگی در این ناحیه وجود دارد (شکل ۵-b).

همان‌طور که در شکل ۵-۲ مشاهده می‌شود، در ساعت ۰۰۰۰ UTC روز پانزدهم، دو مرکز بسته PVU ۴ یکی نواحی شمال عربستان سعودی و عراق و دیگری جنوب غرب دریای سیاه را در برگرفته است. در شرق مرکز بسته واقع بر عربستان سعودی، دو مرکز بیش از PVU ۰/۵ روی بخش مرکزی و جنوب غربی ایران در

زیرین و زیرین رخ می‌دهد، این سازوکار به خوبی قابل مشاهده است.

علت استفاده از نقشه‌های PV روی سطح هم‌فشاری ۷۰۰ هکتوپاسکال یا معادل آن در سطح هم‌دمای پتانسیلی ۲۹۵ کلوین، نخست برای بررسی و مشاهده گسترش و عمق نفوذ PV های سطوح زیرین و دوم برای بررسی نقش فرایندهای دررو در ایجاد PV های سطوح زیرین است. این PV های سطوح میانی که مستقل از PV های سطوح زیرین هستند، منشأ وردسپهری دارند و مربوط به سطوح زیرین هستند؛ در حالی که PV های سطوح زیرین منشأ پوش سپهری دارند. در تشخیص این PV ها می‌توان با رسم پریندهای رطوبت نسبی و انطباق آنها بر نقشه‌های PV، به منشأ آنها بی‌برد. PV های سطوح زیرین دارای رطوبت فوق العاده کم و تقریباً خشک ولی PV های سطوح پایین دارای رطوبت بسیار زیادند. روش دیگر تشخیص PV ها، این است که اگر PV سطح زیرین مستقیماً در زیر PV سطوح زیرین قرار گیرد، وجود آن مربوط به تأثیر PV های سطوح زیرین در سطوح زیرین است و بنابراین منشأ پوش سپهری دارند؛ ولی اگر PV های سطوح زیرین در غرب PV های سطوح زیرین قرار گرفته باشند، آنها در اثر فرایندهای دررو (عمدتاً آزاد شدن گرمای نهان) به وجود می‌آیند و منشأ وردسپهری دارند.

نتایج مهم حاصل از بررسی نقشه‌های میدان توابی پتانسیلی روی سطوح هم‌دمای پتانسیلی، نقشه‌های فشاری سطح زمین و سرعت‌های قائم در سطح ۷۰۰ هکتوپاسکال در مراحل متفاوت چرخندزایی را می‌توان به اختصار به شرح زیر بیان کرد. در ساعت ۰۰۰۰ UTC روز سیزدهم (شکل ۲-a)، در سطح زیرین مرکز توابی پتانسیلی با پریند بسته به بزرگی PVU ۵ در شمال شرق دریای مدیترانه قرار دارد. در همین روز منطبق بر موقعیت این مرکز بسته، در سطوح میانی (شکل ۳-a) مرکز بسته

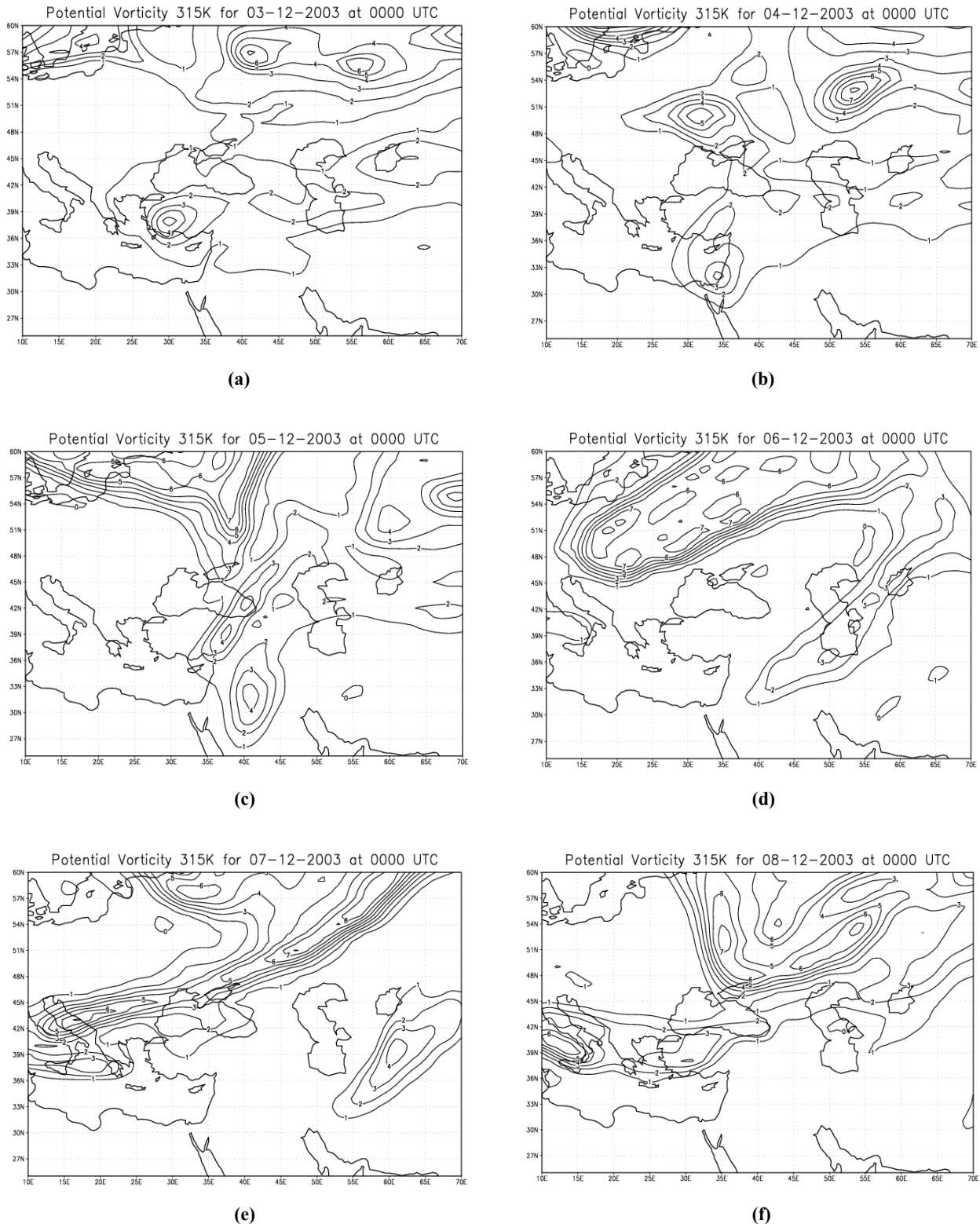
هفدهم (شکل e-۳) است. از آنجا که هیچ اثری از وجود بی‌هنگاری تاوانی پتانسیلی سطوح زبرین در شکل e-۲ و ناوۀ سطوح زبرین در شکل e-۱ مشاهده نمی‌شود، به نظر می‌رسد که منشأ این بی‌هنگاری سطوح میانی عوامل محلی (رشته کوه‌های زاگرس) و سطوح زبرین (کشیدگی زبانه کم‌فشار واقع بر شرق دریای سرخ تا نواحی جنوبی و غرب ایران) باشد. تعیین نقش این نوع عوامل محلی به صورت کمی یا جملات موجود در سمت راست رابطه (۱) نیاز به داده‌ها و محاسبات بیشتر دارد که خارج از موضوع این مقاله است. مقداری از تاوانی در روز هجدهم (شکل f-۳)، بی‌هنگاری تاوانی پتانسیلی سطوح میانی یاد شده بهشدت ضعیف شده است و مراکز محدود ۰/۵ PVU روی جنوب غرب و غرب ایران به‌چشم می‌خورد.

۵ نتیجه‌گیری

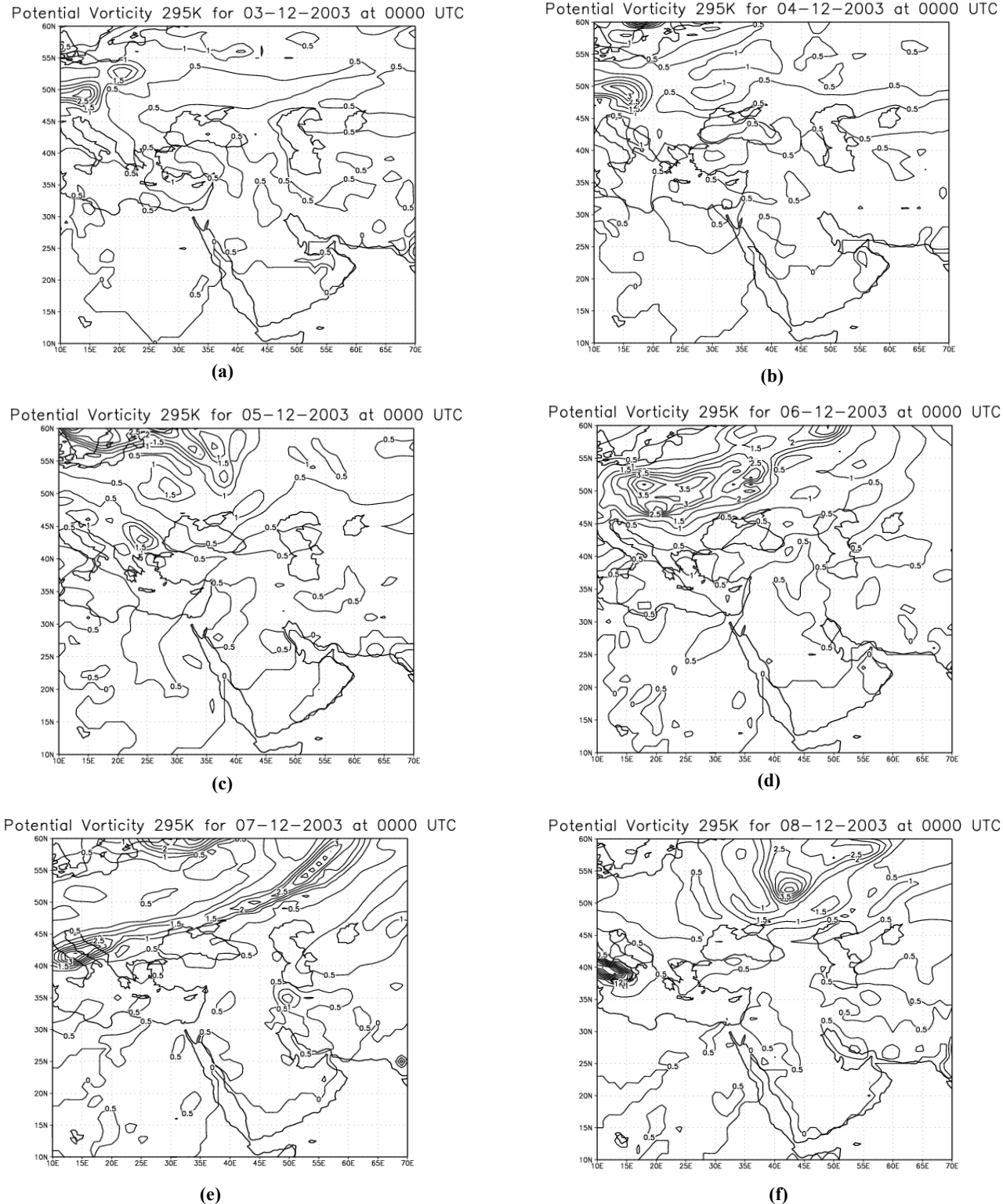
پس از مقاله بنیادین هاسکینز و همکاران (۱۹۸۵)، مطالعات نظری، شبیه‌سازی‌های عددی و مطالعات موردنی متعددی از چرخندزایی با استفاده از مفهوم تاوانی پتانسیلی صورت گرفته است. در مطالعات موردنی سعی شده است که دینامیک چرخندزایی بر اساس بی‌هنگاری‌های تاوانی پتانسیلی مربوط به هر یک از سه عامل اصلی، شامل ناوۀ سطوح زبرین، فرایندهای دررو در سطوح میانی و کژفشاری سطوح زبرین و همچنین برهم‌کنش بین آنها تحلیل شود (مانند هاسکینز و بریسفورد ۱۹۸۸؛ دیویس و همکاران ۱۹۹۳؛ رید و همکاران ۱۹۹۳؛ استولینگا ۱۹۹۶؛ فلمن و دیویس ۱۹۹۸؛ مالت و همکاران ۱۹۹۹؛ احمدی‌گیوی و همکاران ۲۰۰۴). در همه این نوع مطالعات، سه مرحله مشخص در چرخۀ عمر چرخندها (مرحله آغازین، مرحله تقویت و مرحله میرایی) مشاهده می‌شود. نقش هر یک از عوامل سه‌گانه فوق در مراحل مختلفی از چرخندزایی متفاوت بوده است و نتایج ارائه شده مربوط به هر چرخند مورد مطالعه نیز تفاوت دارد.

سطح میانی (شکل e-۳) قرار دارد. با بررسی پربندهای رطوبت نسبی در این منطقه، می‌توان نتیجه گرفت که فرایندهای دررو، منشأ این بی‌هنگاری‌های PV سطوح میانی است. هماهنگ با این بی‌هنگاری‌های PV سطوح زبرین و میانی حرکت‌های صعودی با بیشینه 14 cms^{-1} دیده می‌شود (شکل e-۴). نقشه سطح زمین نیز حاکی از گسترش زبانه کم‌فشار واقع بر شرق دریای سرخ تا نواحی مرکزی و جنوبی ایران است (شکل‌های e-۵ و d-۵). در واقع می‌توان گفت که در این مرحله از چرخۀ عمر چرخندزایی، بی‌هنگاری‌های PV سطوح زبرین، میانی و سطح زمین در تقویت سامانه و ناپایداری موثر بوده‌اند. در روز شانزدهم، دو مرکز تاوانی پتانسیلی PVU در نهضه تاوانی پتانسیلی سطوح میانی (شکل d-۲) روز قبل با هم ادغام و به صورت زبانه‌ای وسیع از بی‌هنگاری PV با مرکز PVU ۳ به ایران کشیده شده‌اند (شکل d-۳). در نقشه تاوانی پتانسیلی سطوح میانی (شکل d-۳) هیچ نشانه‌ای از بی‌هنگاری تاوانی پتانسیلی قابل توجه روی ایران مشاهده نمی‌شود. حرکت‌های صعودی شدید روز قبل نیز تقریباً از بین رفته و حرکت‌های نزولی با مرکز 4 cms^{-1} به‌چشم می‌خورد (شکل d-۴). در نقشه سطح زمین این روز (شکل e-۵)، به جز جایی اندک پربندهای هم‌فشار به سمت عرض‌های بالاتر، تغییر محسوسی دیده نمی‌شود. از شکل‌های روز شانزدهم می‌توان نتیجه گرفت که اثر بی‌هنگاری تاوانی پتانسیلی سطوح زبرین و همچنین بی‌هنگاری‌های تاوانی پتانسیلی سطوح میانی مرتبط با آن کاهش یافته است.

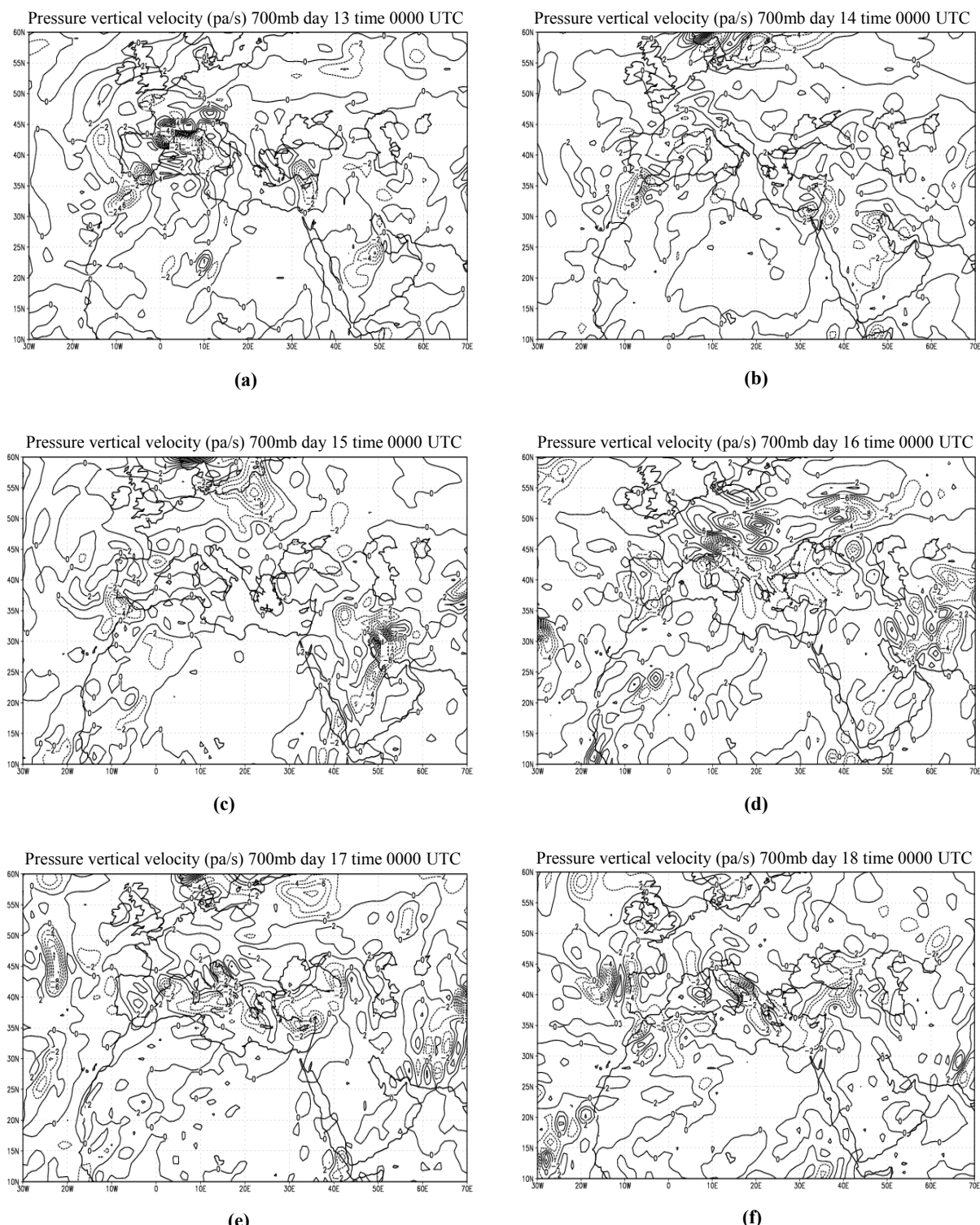
در روز هفدهم (شکل e-۲) بی‌هنگاری تاوانی پتانسیلی سطوح زبرین به طور کامل از کشور ایران خارج می‌شود و در روز بعد (شکل f-۲) هیچ پربنده از تاوانی پتانسیلی روی ایران وجود ندارد. نکته حائز اهمیت در نقشه‌های تاوانی پتانسیلی سطوح میانی، وجود مرکز PVU ۱/۵ روی نواحی مرکزی و غرب ایران در روز



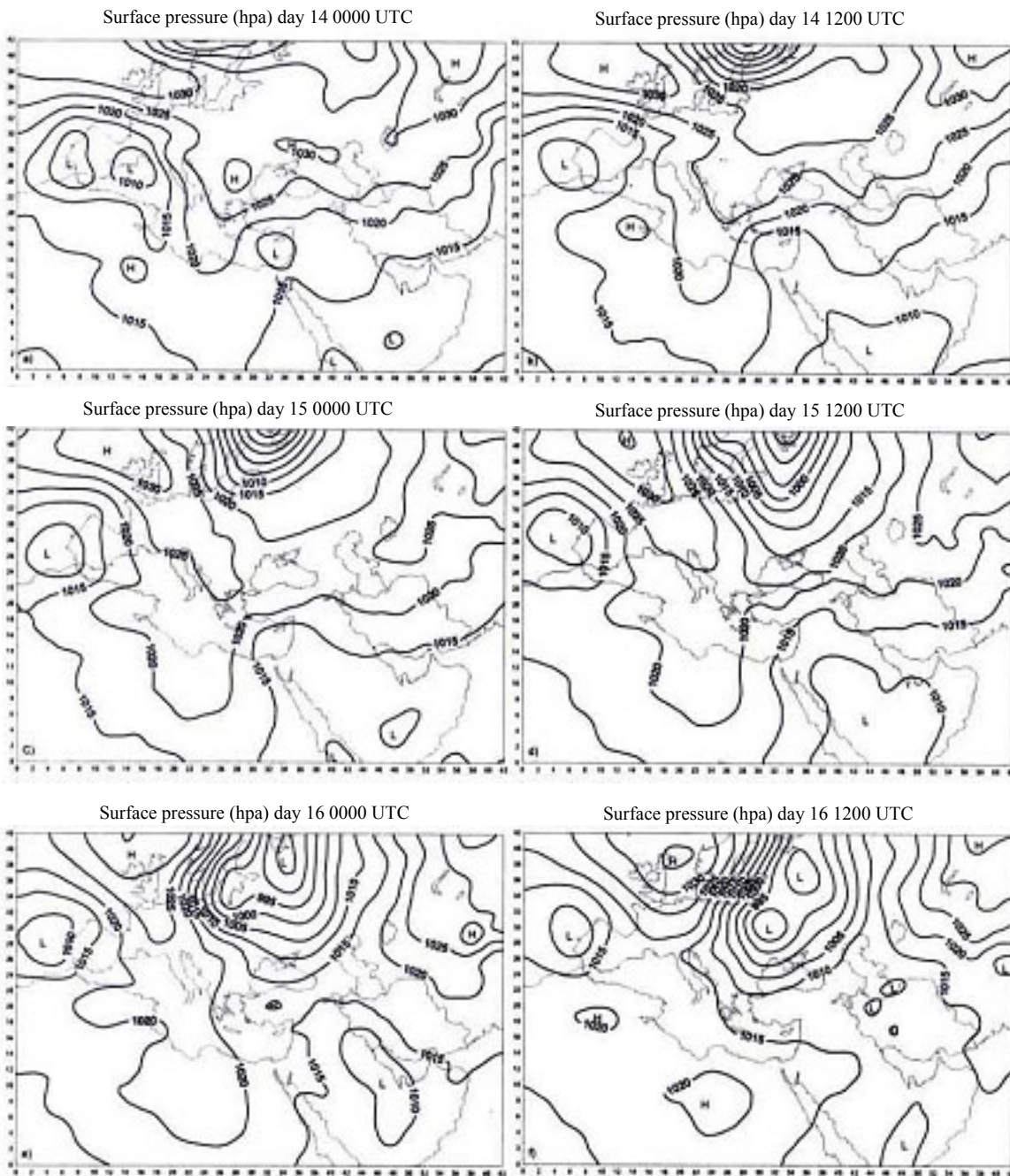
شکل ۲. مانند شکل ۱ ولی برای توابع پتانسیلی ارتل در سطح همدماهی پتانسیلی ۳۱۵ کلوین. بازه پربندی توابع پتانسیلی برابر ۱ PVU است.



شکل ۳. مانند شکل ۱ ولی برای تاوایی پتانسیلی ارتل در سطح همدماهی پتانسیلی ۲۹۵ کلوین. بازه پرینتی تاوایی پتانسیلی برابر $0/5$ PVU است.



شکل ۴. مانند شکل ۱ ولی برای سرعت قائم در سطح ۷۰۰ هکتوپاسکال. واحد مقادیر برحسب cm/sec است. مقادیر مثبت (حرکت‌های نزولی) و منفی (حرکت‌های صعودی) به ترتیب با پربندهای پر و خط‌چین مشخص شده‌اند.



شکل ۵. گرته فشاری در سطح زمین بر حسب هکتوپاسکال برای (a) ساعت ۱۲۰۰ UTC روز چهاردهم، (b) ساعت ۱۲۰۰ UTC روز پانزدهم، (c) ساعت ۱۲۰۰ UTC روز شانزدهم و (f) ساعت ۱۲۰۰ UTC روز شانزدهم آذر ۱۳۸۲ عدهای روی محورها معرف تعداد نقاط شبکه‌ای در راستای x , y و فاصله پریندها ۵ هکتوپاسکال است.

ناشی از فرایندهای دررو است و همچنین حرکت‌های قائم ناشی از فرارفت‌های گرم و سرد سطوح زیرین وجود دارد که مشارکت و برهم‌کنش بین آنها منجر به چرخندزایی شده است. لازم به ذکر است اثر عواملی چون توبوگرافی به طور ضمنی در مقدار تاوایی پتانسیلی ارتل محاسبه شده، وجود دارد. مرحله میرایی چرخندزایی مقارن با تضعیف هر یک از سه عامل بهویژه قطع ارتباط آنها است.

منابع

- قرایلو، م.، ۱۳۸۳، مطالعه دینامیک سامانه‌های چرخندی بر روی ایران از دیدگاه تاوایی پتانسیلی برای آذرماه ۱۳۸۲، پایان‌نامه کارشناسی ارشد رشته هواشناسی، مؤسسه ژئوفیزیک دانشگاه تهران.
- محب‌الحججه، ع. ر. و مرادی، م.، ۱۳۸۱، فرایابی تاوایی پتانسیلی راسپی-ارتل روی سطوح هم‌دامی پتانسیلی، همايش پیش‌بینی عددی وضع هوا، تهران، سازمان هواشناسی کشور، ۱۷ مهرماه، ۱۳۸۱.

- Ahmadi-Givi, F., Craig, G. C., and Plant, R. S., 2004, The dynamics of a midlatitude cyclone with very strong latent-heat release: *Q. J. Roy. Meteor. Soc.*, **130**, 295-323.
- Bluestein, H. R., 1992, *Synoptic-Dynamic Meteorology in Midlatitude*: Vol. II. Oxford University Press, 594.
- Davis, C. A., and Emanuel, K. A., 1991, Potential vorticity diagnostics of cyclogenesis: *Mon. Wea. Rev.*, **119**, 1929-1953.
- Davis, C. A., Stoelinga, M. T., and Kuo, Y. H., 1993, The integrated effect of condensation in numerical simulations of extratropical cyclogenesis: *Mon. Wea. Rev.*, **121**, 2309-2330.
- Fehlmann, R., and Davis, H. C., 1998, Role of salient PV-elements in an event of frontal wave cyclogenesis: *Q. J. Roy. Meteor. Soc.*, **124**, 1-22.
- Holton, J. R., 1992, *An Introduction to Dynamic Meteorology*. Academic Press, 511.
- Hoskins, B. J., McIntyre, M. E., and Robertson, A. W., 1985, On the use and significance of isentropic potential vorticity maps: *Q. J. Roy. Meteor. Soc.*, **111**, 877-946.

برای نمونه در کارهای هاسکینز و بریسفورد (۱۹۸۸) و فلمن و دیویس (۱۹۹۸) نشان داده شده است که سازوکار اصلی چرخندزایی در چرخندزایی مورد بررسی، عمدتاً ناشی از بی‌هنگاری تاوایی پتانسیلی سطوح زیرین وجود کثُرشاری شدید در سطح زمین است و بی‌هنگاری تاوایی پتانسیلی مربوط به فرایندهای دررو نقش قابل توجهی نداشته است. از سوی دیگر مطالعات موردي ريد و همکاران (۱۹۹۳)، استولینگا (۱۹۹۶) و احمدی گیوی و همکاران (۲۰۰۴) نشان می‌دهد که نقش تاوایی پتانسیلی مربوط به فرایندهای دررو، بهویژه آزاد شدن گرمای نهان، در هر سه مرحله از چرخندزایی بسیار بیشتر از نقش کثُرشاری سطح زمین بوده و در مرحله تقویت چرخدن، اثر آن برابر اثر بی‌هنگاری تاوایی پتانسیلی سطوح زیرین است. در این مقاله نیز سعی شده است که دینامیک سامانه‌های چرخندی واقع بر ایران در آذرماه ۱۳۸۲ از دیدگاه تاوایی پتانسیلی بررسی شود.

بررسی نقشه‌های همدیدی سطوح هم‌شاری مختلف در آذرماه ۱۳۸۲ نشان می‌دهد که دو بندهای در اوایل و اواخر ماه در منطقه رخ داده است. وقوع این پدیدهای جوی سبب شده است که شرایط نسبتاً پایداری روی ایران حاکم باشد و سامانه‌های چرخندی زیادی شکل نگیرد یا در اثر عوامل سطوح زیرین تقویت نشود. به همین علت فقط سامانه چرخندی با چرخه عمر مشخص طی آذرماه (سیزدهم تا هجدهم) تعیین شد که دینامیک آن از دیدگاه تاوایی پتانسیلی مورد مطالعه قرار گرفت.

در چرخه عمر چرخند مورد بررسی در این مقاله نیز سه مرحله مشخص ذکر شده، مشاهده می‌شود. در مرحله تکوین چرخدن سطحی، فقط بی‌هنگاری تاوایی پتانسیلی سطوح زیرین حضور دارد، بدون آنکه عوامل سطوح میانی و سطح زمین نقش مؤثری داشته باشند. در مرحله بلوغ سامانه، سه عامل شامل بی‌هنگاری تاوایی پتانسیلی سطوح زیرین، بی‌هنگاری تاوایی پتانسیلی سطوح میانی که

- Hoskins, B. J., and Berrisford, P., 1988, A potential vorticity perspective of the storm of 15-16 October 1987: Weather, **43**, 122-129.
- Kahaner, D., Moler, C., and Nash, S., 1989, Numerical Methods and Software. Prentice Hall, 495.
- Mallet, I., Cammas, J. P., Mascart, P., and Bechtold, P., 1999, Effects of cloud diabatic heating on the early development of the FASTEX IOP 17 cyclone: Q. J. Roy. Meteor. Soc., **125**, 3439-3467.
- Reed, R. J., Grell, G. A., and Kuo, Y. H., 1993, The ERICA IOP5 storm. Part I: Analysis and simulation: Mon. Wea. Rev., **121**, 1577-1594.
- Stoelinga, M. T., 1996, A potential vorticity-based study of the role of diabatic heating and friction in a numerically simulated baroclinic cyclone: Mon. Wea. Rev., **124**, 849-874.